

アラインド・シールドの推進力の算定と実験

| | | |
|---------|----|------|
| 大阪大学工学部 | 正員 | 伊藤富雄 |
| 大阪大学工学部 | 正員 | 松井保 |
| 大阪府立 | 正員 | ○吉本敏 |

[1] はしひき

本文は、アラインド式シールド工法適用時の折算推進力を流動理論によって求めた算定式および模型実験による結果を考察したものである。

[2] 推進力の計算法

図-1は長さ L、外径 R_1 、取り出入口の半径 R_2 の円形

アラインドシールドの断面である。このシールドを一定速度で推進させる場合、全推進力 P は、シールド外周面、AD, AD' に作用する力 P_1 および先端部 AC, AC' に作用する力 P_2 の和であると考えられる。即ち

$$P = P_1 + P_2 \quad \dots \dots \dots \quad (i)$$

これら 2 カの計算における主な仮定は次の通りである。

- (a) シールドを一定速度で推進させる時、シールドの外周辺および先端部の粘性土は Bingham 流動状態であり、この流動特性は Pipe Flow 試験等で既知であるものとする。(参考文献 1)
- (b) AC'C'A 内の粘性土の流動方向は常に中心 O に向かうものとする。
- (c) 任意の半径 r における微小部分 EFF'E'において流動は直徑 EE' を直徑とする Pipe Flow と相似であり、壁面に作用する力はそれを比例關係にあるものとする。
- (d) シールド外周面に作用する力 P_1 の計算法

シールド外周面に作用する力 P_1 は板を引いて壁面に作用するブリクションと同じであると考へらるるので、参考文献 2) を参照して次式で表わすことができる。

$$V_0 = \frac{P_1}{2\pi L \mu_p} \left(\ln \frac{P_1}{2\pi L \tau_y R_1} + \frac{2\pi L \tau_y R_1}{P_1} - 1 \right) \quad \dots \dots \dots \quad (ii)$$

ここで V_0 : シールド推進速度、 τ_y : 粘性土の降伏応力、 μ_p : 塑性粘度である。従って、 μ_p, τ_y, R_1 を既知とすれば上式より P_1 は V_0 と L の実数として表わさることになる。

(e) シールド先端部に作用する力 P_2 の計算法

図-1に示すシールド先端部の微小部分 EFF'E'において、EF, E'F' に作用する力 dP_2' は前述した仮定より、直徑 $EE' = 2r\alpha$ 、長さ dr の Pipe Flow において壁面に作用する力と比例するから、

$$dP_2' = 2\pi k dr \left\{ (\mu_p V_r + r\alpha \tau_y) \pm \sqrt{(\mu_p V_r + r\alpha \tau_y)^2 - (r\alpha \tau_y)^2} \right\} \quad \dots \dots \dots \quad (iii)$$

ここで k : 比例定数 V_r : 板の速度。

板の速度 V_r は、シールド推進速度 V_0 のとき次式で表わすものとする。

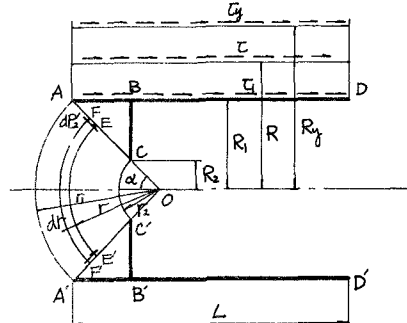


図-1

$$V_r = R_i^2 V_0 / Z \Gamma^2 (1 - \cos \alpha) \quad \dots \dots \dots \quad (iv)$$

従ってシールド先端部に作用する力 P_2 は dP_2' の水平成分を $r=R_2$ から R_1 まで積分して E ものとして求まり。

$$P_2 = \int_{R_2}^{R_1} \cos \alpha dP_2' = \pi R_i \cos \alpha \left\{ \frac{a}{\sin \alpha} (R_1^2 - R_2^2) + 4 \sqrt{\frac{b}{\sin \alpha}} (R_1^2 - R_2^2) - 2C \sin \alpha (R_1^2 - R_2^2) - \frac{2C}{5\sqrt{b}} (\sin \alpha)^5 (R_1^2 - R_2^2) \right\} \dots \dots \dots \quad (v)$$

$$\text{ここに } a = \alpha \cdot T_y, b = \alpha R_i^2 / U_p T_y V_0 / (1 - \cos \alpha), C = \sqrt{R_i^2 U_p V_0 / 2 (1 - \cos \alpha)}^2$$

以上のようにして求める P_1, P_2 を (i) 式に代入すれば全推進力 P を求めることができる。

[3] 実験装置および方法

上に求める E 全推進力 P の内、 P_1 のみが貫入長 L の 荷重として表示されるので、 図-2 に示すような実験装置によって、 模型フレイндニールドを粘土の中へ貫入させて、 贯入長さ L とその時の貫入力 P を測定する。

一例として実験結果を図示すると 図-3 の如くになり、 P と L はほぼ直線関係にあり、

直線の勾配より P/L 、 調軸との交点より P_2 が得られる。(参考文献 3)

シールド先端部の形は α を一定角度 45° とし、 R_2 を種々変化させていくが、 今回の実験においては、 開口比 0.5, 0.25, 0.1 のものを用いた。試料は $L, L = 72\%$, $P, L = 31\%$, 比重 = 2.65 であり、 含水比 86.8%, 80.0%, 77.6% の 3 種類について実験を行った。また貫入速度 V_0 は 1 cm/min , 1 mm/min の 2 種類とした。

[4] 実験結果および考察

前述の Pipe Flow 試験により求めた粘土の U_p, T_y はそれぞれの含水比に対する表-1 のようにまとまる。これらを用いて (ii) 式より求める $E P/L$ と実験値を比較すると表-2 の通りである。ここに実験値として示す値は 3 種類の開口比の平均値である。次に実験により求めた P_2 を (i) 式に代入して比倒走数 k を求めると表-3 の如くになる。この表より k は 5~6 前後でほぼ一定値をとるようである。この k の値は主にシールド先端部の断面の変化に起因するものと思われるが、更に詳細に検討する必要があり、今後の課題である。

(参考文献)

- 1) 松井・竹本「軟弱地盤上の実験特性について」昭和 42 年度構造工学研究会講演概要
- 2) 松井・竹本「ネガティクリミヨンの計算法に関する提案」昭和 42 年度
- 3) 斎藤・内藤・鈴木「カーブドミールド工法に関する基礎的研究」第 2 回土壤年次研究会講演概要

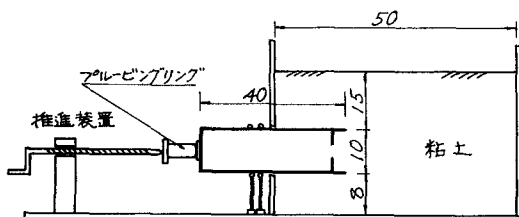
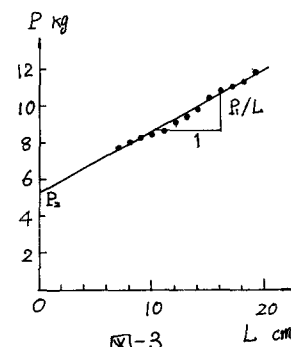


図-2 (単位 cm)



| 含水比 % | 86.8 | 80.0 | 77.6 |
|----------------|------|------|------|
| $T_y (g/cm^2)$ | 5.84 | 8.51 | 9.73 |
| $U_p (g/cm^2)$ | 67.6 | 53.7 | 27.4 |

表-1

| 含水比 % | 86.8 | 80.0 | 77.6 |
|-----------|---------------------|--------------------|---------------------|
| 貫入速度 | 10 mm/min | 1 mm/min | 10 mm/min |
| P/L | 0.232 | 0.229 | 0.307 |
| (kg/cm) | 0.210 | 0.187 | 0.341 |
| 理論値 | | | 0.355 |

表-2

| 含水比 % | 86.8 | 80.0 | 77.6 |
|-------|---------------------|--------------------|---------------------|
| 貫入速度 | 10 mm/min | 1 mm/min | 10 mm/min |
| 開口比 | 0.5 | 0.25 | 0.10 |
| 0.5 | 6.4 | 5.5 | 5.8 |
| 0.25 | 5.8 | 5.4 | 6.0 |
| 0.10 | 6.2 | 6.5 | 6.1 |

表-3